

Список литературы

- [1] Иоффе А. Ф. Полупроводниковые термоэлементы. М.—Л., 1960. 188 с.
 [2] Гольцман Б. М., Кудинов В. А., Смирнов И. А. Полупроводниковые термоэлектрические материалы на основе Bi_2Te_3 . М., 1972. 320 с.

Получено 18.04.1989
 Принято к печати 5.06.1989

ФТП, том 23, вып. 10, 1989

**ТРИ СВЕТОВЫЕ ВОЛНЫ
В ОБЛАСТИ ЭКСИТОННОГО РЕЗОНАНСА
В КРИСТАЛЛАХ CdS**

| Винецкий В. Л., Кудыкина Т. А.

Известно, что при падении на кристалл световой волны с частотой, близкой к экстонному резонансу, в изотропном кристалле возбуждаются две проходящие волны, имеющие одинаковую частоту ω и поляризацию, но различающиеся показателями преломления n и поглощения χ [1, 2]. Это теоретическое заключение было экспериментально подтверждено на кристаллах CdS с помощью прецизионных измерений дисперсии $n(\omega)$ [3, 4]. Однако существует ряд расхождений между предсказаниями теории и данными эксперимента [3, 4] о поведении так называемой (+)-волны. Это обстоятельство побудило авторов настоящей работы более детально рассмотреть вопрос о добавочных световых волнах Пекара. Оказалось, что одна из двух пекаровских волн [(+)-волна] в свою очередь в области экстонного резонанса расщепляется на две волны с различными, хотя и довольно близкими значениями n и заметно различающимися χ , так что в этой области существует три, а не две волны. Учет трех волн значительно улучшает согласие теории с экспериментом.

Связь величин n и χ с диэлектрической проницаемостью ϵ определяется из решения $\mathbf{E}(\mathbf{r}, t)$ макроскопического уравнения Максвелла

$$\Delta \mathbf{E} - \text{grad div } \mathbf{E} = c^{-2} \partial^2 \mathbf{D} / \partial t^2, \quad (1)$$

где \mathbf{E} и \mathbf{D} — электрическое поле и индукция. Вклад в диэлектрическую проницаемость, обусловленный экстонами, определяется средним удельным электрическим моментом \mathbf{P} , возникающим под действием поля световой волны,

$$\mathbf{E}(\mathbf{r}, t) = \epsilon(\mathbf{k}, \omega) \exp[i(\mathbf{k} \cdot \mathbf{r} - \omega t)]. \quad (2)$$

Дипольно-разрешенный электронный переход с образованием экстона в m -м состоянии в изотропном кристалле приводит к величине ϵ , выраженной через параметры энергетического спектра экстона и равной [2]

$$\epsilon = \epsilon_0 + A_m [\epsilon_m + H_{mm}^a - \hbar\omega + (\hbar^2 k_{\text{эк}}^2 / 2M_{\text{эк}})]^{-1}, \quad (3)$$

где ϵ_0 определяется вкладом в \mathbf{P} неэкстонного происхождения, $\epsilon_m + \hbar^2 k_{\text{эк}}^2 / 2M_{\text{эк}}$ — энергия экстона с волновым вектором $\mathbf{k}_{\text{эк}}$ и эффективной массой $M_{\text{эк}}$, H_{mm}^a описывает взаимодействие экстона с фононами и дефектами, A_m — постоянная, пропорциональная силе осциллятора. Запишем (3) в виде

$$\epsilon = \epsilon_0 + \bar{A}_m(\omega) - \omega + \gamma k^2 - i\Gamma)^{-1}, \quad (4)$$

где $\text{Re}H_{mm}^a$ включена в энергию экстона $\hbar\omega_0$, а $\text{Im}H_{mm}^a$ определяет время жизни экстона Γ^{-1} , $\gamma \equiv \hbar/2M_{\text{эк}}$. Выражение (4) получено в [5, 6] иными методами, однако при том же условии действительного \mathbf{k} .

Рассмотрим теперь решения уравнения Максвелла (1). В отсутствие дисперсии

$$\epsilon = \text{const}(\mathbf{r}, t), \quad \mathbf{D} = \epsilon \mathbf{E}, \quad (5)$$

точное решение (1) имеет вид (2), причем для собственных значений справедливо соотношение

$$\omega = k^2 c^2 / \omega^2. \quad (6)$$

При наличии поглощения постоянная диэлектрическая проницаемость комплексна и решение (2) содержит комплексное k , для которого справедливо соотношение (2). В этом случае существует одна световая волна.

При наличии пространственной дисперсии поляризуемость χ зависит от \mathbf{r} и t :

$$\mathbf{D}(\mathbf{r}, t) = \mathbf{E}(\mathbf{r}, t) + 4\pi \int_{-\infty}^t dt' \int d\mathbf{r}' \chi(\mathbf{r} - \mathbf{r}', t - t') \mathbf{E}(\mathbf{r}', t'). \quad (7)$$

Так как $\chi = 0$ при $t' > t$, интегрирование в (7) можно распространить до ∞ [1]. Для определения отклика на гармоническое возмущение (2) необходимо разложить $\chi(\mathbf{r}, t)$ на интеграл Фурье; тогда из (1), (2) следует соотношение

$$k^2 c^2 = \omega^2 \left[1 + 4\pi \int ds \chi(s, \omega) \int d\mathbf{r}' e^{i(k-s)(\mathbf{r}'-\mathbf{r})} \right]. \quad (8)$$

Здесь $\chi(s, \omega)$ — компонента фурье-поляризуемости $\chi(\mathbf{r}, t)$, поэтому s, k являются действительными. При этом интеграл по \mathbf{r}' приводит к δ -функции $\delta(k-s)$ и (8) сводится к (6) при $\epsilon(k, \omega) = 1 + 4\pi\chi(k, \omega)$. Однако учесть поглощение простой заменой k на комплексное k в (8) нельзя, ибо при этом законность фурье-разложения теряет силу. Таким образом, вывод о существовании двух волн, следующий из соотношений (8) и (4), обоснован лишь в отсутствие поглощения.

При наличии и дисперсии (7), и поглощения уравнение Максвелла точно не решается. Однако может быть получено приближенное решение, справедливое при слабом поглощении. Решение (1) ищем в виде [7]

$$\mathcal{E}(\mathbf{r}, t) = \mathcal{E}_0(\mathbf{r}, \omega, k) \exp[i(k \cdot \mathbf{r} - \omega t)], \quad (9)$$

где k действительно, а $\mathcal{E}(\mathbf{r}, \omega, k)$ — слабо изменяющаяся на расстоянии порядка длины волны функция \mathbf{r} . Подстановка (9) в (1) с учетом (7) приводит к уравнению относительно \mathcal{E} , которое для изотропного кристалла и $k \parallel 0x$ можно записать в виде

$$\mathcal{E}_{xx}'' + 2ik\mathcal{E}_x' - k^2 \mathcal{E} + \omega^2 c^{-2} \left[\mathcal{E} + 4\pi \int ds \chi(s, \omega) \int d\mathbf{r}' \mathcal{E}(\mathbf{r}', \omega, k) e^{i(k-s)(\mathbf{r}-\mathbf{r}')} \right] = 0. \quad (10)$$

Воспользовавшись плавностью функции $\mathcal{E}(\mathbf{r}', k, \omega)$, вынесем ее из-под интеграла в (10) при $\mathbf{r} = \mathbf{r}'$. Тогда, полагая $\chi = \chi_1 + i\chi_2$ и разделяя действительную и мнимую части в (10), получаем систему двух уравнений

$$\mathcal{E}_{xx}'' - [k^2 - \omega^2 c^{-2} \epsilon_1] \mathcal{E} = 0, \quad (11)$$

$$2k\mathcal{E}_x' + \omega^2 c^{-2} \epsilon_2 \mathcal{E} = 0, \quad (12)$$

где $\epsilon(k, \omega) = \epsilon_1(k, \omega) + i\epsilon_2(k, \omega)$, $\epsilon_1(k, \omega) = 1 + 4\pi\chi_1(k, \omega)$, $\epsilon_2 = 4\pi\chi_2(k, \omega)$. Решение (11), (12) имеет вид

$$\mathcal{E}(x, k, \omega) = \mathcal{E}_0(k, \omega) \exp[-\kappa \omega x/c], \quad (13)$$

$$k^2 c^2 / \omega^2 = \epsilon_1 + \epsilon_2^2 / 4\epsilon_1 = n^2, \quad (14)$$

где $\kappa = \epsilon_2 \omega / 2kc$. Соотношение (13) представляет собой закон Бугера—Ламберта, а (14) определяет коэффициент преломления света n . Из (13), (14) следует

$$\begin{aligned} \epsilon_1 &= n^2 - \kappa^2 - (\kappa^2/n)^2, \\ \epsilon_2 &= 2n\kappa. \end{aligned} \quad (15)$$

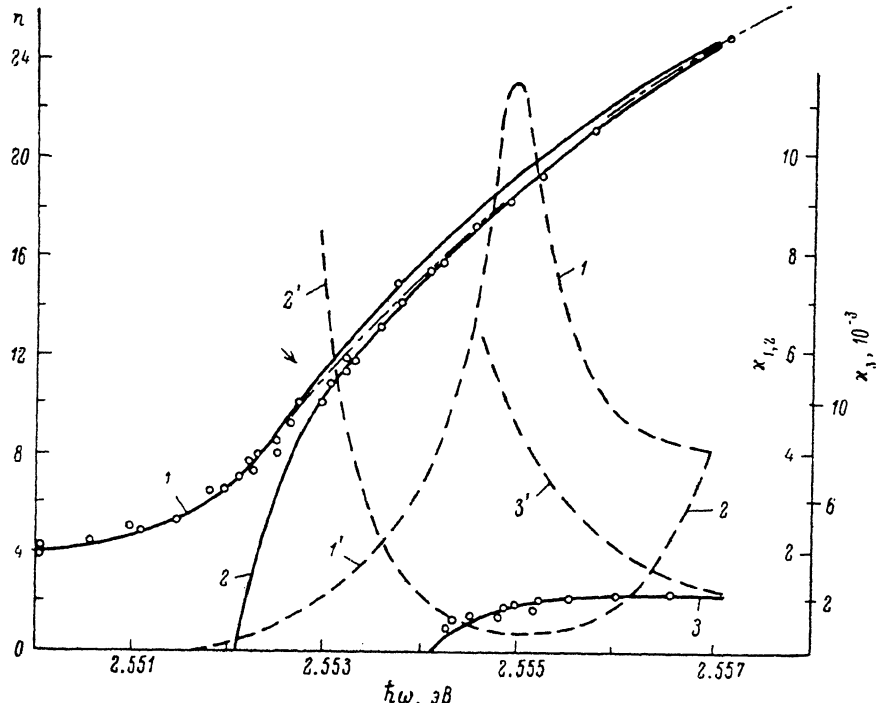
Условие плавности \mathcal{E} соответствует малости параметра x/n . В 1-м порядке по малому параметру x/n соотношения (15) совпадают с аналогичными соотношениями для точно решаемого случая отсутствия пространственной дисперсии.

Из (15), (4) следует

$$\epsilon_1 \approx n^2 - x^2 = \epsilon_0 + A(\omega_0 - \omega + \beta n^2) [(\omega_0 - \omega + \beta n^2)^2 + \Gamma^2]^{-1}, \quad (16)$$

$$\epsilon_2 = 2nx = A\Gamma [(\omega_0 - \omega + \beta n^2)^2 + \Gamma^2]^{-1}, \quad (17)$$

где $\beta \equiv (\hbar\omega_0)^2/2M_{\text{экк}}c$. Уравнение для n^2 оказывается теперь не ниже 3-го (а не 2-го [2]) порядка, что допускает одновременное существование трех световых волн. Система уравнений (16), (17) решалась численно в качестве примера для случая $A_{N=1}$ -экзитона в кристаллах CdS при поляризации света $E \perp c$.



Дисперсия $n(\omega)$ (сплошные кривые) и $x(\omega)$ (штриховые) в области основного экзитонного резонанса в кристаллах CdS.

1—3 и 1'—3' — три ветви кривых n и x соответственно. Точки — экспериментальные данные [1], штрихпунктирные кривые — расчет из работы [2].

При этом использованы значения параметров, известные из экспериментов: $\epsilon_0 = 7.4$, $\hbar\omega_0 = 2.55205 \text{ эВ}$, $A = 0.0131 \text{ эВ}$, $\beta = 8 \cdot 10^{-6} \text{ эВ}$, $\Gamma = 0.02 \text{ мэВ}$. Подгоночные параметры не использовались. Результаты расчета приведены на рисунке. В определенных интервалах частот все три корня действительны и положительны. Результаты вычислений хорошо совпадают с экспериментальными значениями $n(\omega)$. Максимальное теоретическое значение n при этих параметрах $n_x = 24.8$ почти совпадает с максимальным экспериментальным значением $n_x = 25$ при той же частоте $\hbar\omega \approx 2.557 \text{ эВ}$, в то время как, согласно [2], $n_x \rightarrow \infty$ при любом значении Γ .

Визуальное наблюдение разделенных волн 1 и 2 затруднительно, так как n_1 и n_2 близки по величине. В условиях эксперимента [3] пучки расходятся под углом $\sim 4 \cdot 10^{-3}$ рад, центры пучков на экране находятся на расстоянии $\sim 8 \text{ мкм}$. Для раздельного наблюдения пучков апертура каждого должна быть в 2—3 раза меньше, чем в [3]. Более доступным является наблюдение спаренного пятна на экране при переходе от частот с $x_1 \ll x_2$ к частотам с $x_1 \gg x_2$. Это наблюдается в эксперименте: излом на зависимости $n(\omega)$ (см. рисунок) в области $\hbar\omega \sim 2.553 \text{ эВ}$ отражает перемещение спаренного пятна вследствие изменения угла преломления [3, 4].